

Elektrische Felder QW

Betrachten zunächst die Wirkung eines E-Feldes auf Bandzustände.

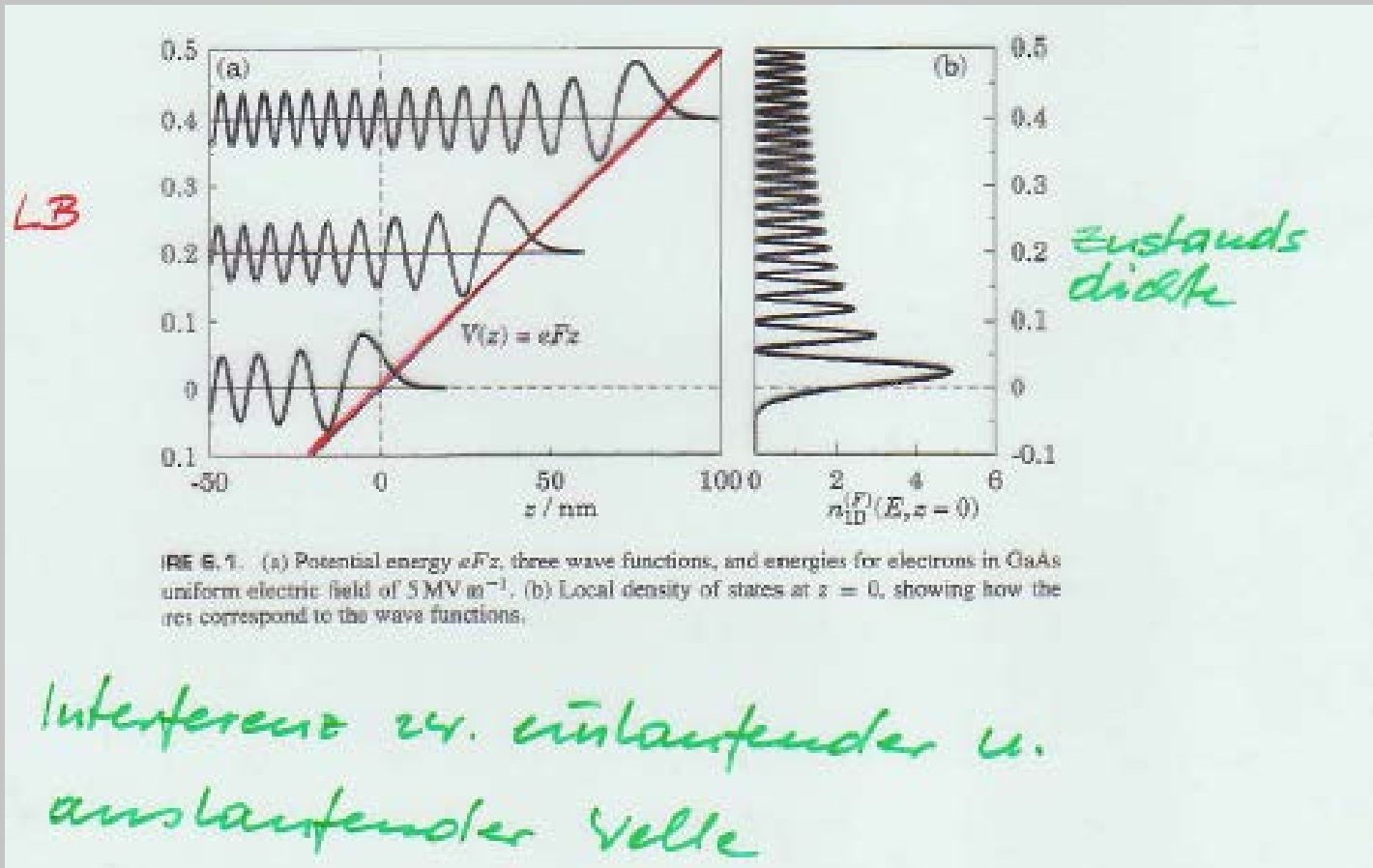
\vec{E} in z-Richtung \rightarrow Pot Energie = eEz

Die Lösungen der Schrödinger Gl.

$$\left[-\frac{\hbar^2}{2m} \frac{\partial^2}{\partial z^2} + eEz \right] \psi(z) = \varepsilon \psi(z)$$

kennen wir bereits vom Dreieck Pot.
Wellenfunkt. \Rightarrow stehende Wellen durch

Elektrische Felder QW



Elektrische Felder QW

→ Die Bandzustände dehnen sich in die verbotene Zone aus

⇒ Die Zustandsdichte zeigt ein oszillatorisches Verhalten

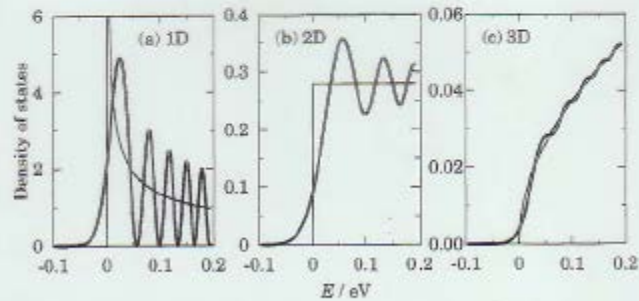


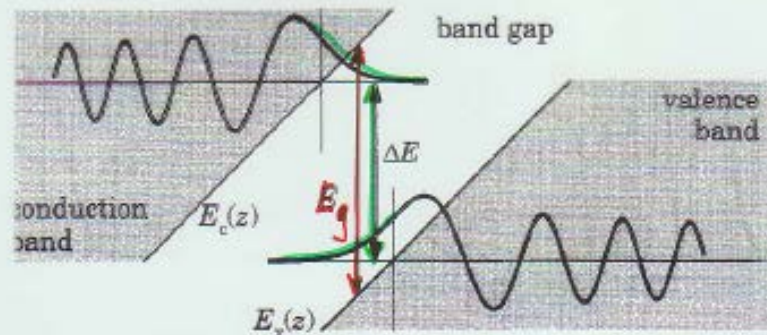
FIGURE 8.2. Local density of states $n^{(d)}(E, z)$ for electrons in GaAs in an electric field of 5 MV m^{-1} as a function of local kinetic energy, $\epsilon = E - eFz$. The thin curves are the results for free electrons. The units of $n(E, z)$ are $\text{eV}^{-1} \text{ nm}^{-d}$ in d dimensions.

⇒ Dies führt zu einer Veränderung der optische Absorption (Emission)

Franz - Keldysh Effekt

Franz-Keldysh Effekt

Absorption (Emission) nur zwischen Zuständen, die im Ortsraum überlappen



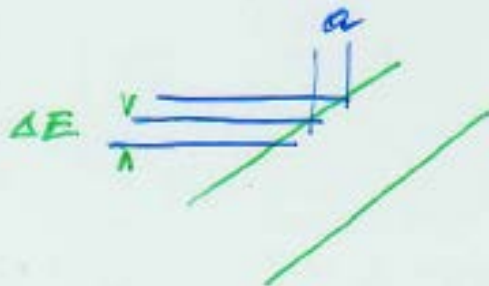
Absorption (Emission) bei $\hbar\omega < E_g$

Absorption und Emission

Wegen des Kristallpotentials können die stehenden Wellen aber nicht beliebig zueinander verschoben werden

=> Diskrete Energieniveaus mit Abstand

$$\Delta E = e E a \quad \text{Stark-Leiter}$$



Elektronen und Löcher in einem QW

Das E-Feld polarisiert die lok. Ladungen und erzeugt ein Dipolmoment

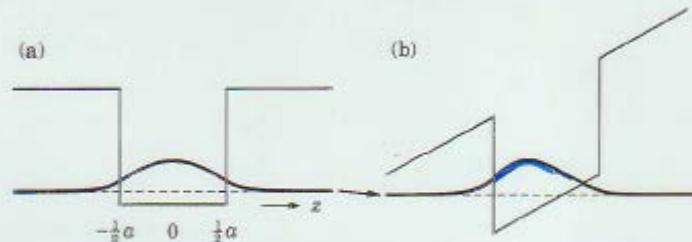


FIGURE 7.1. A quantum well (a) with flat potentials and (b) in an electric field.

Mit Störungsrechnung kann man zeigen, dass dadurch die lok. Energie erniedrigt wird

⇒ Änderung der Absorption (Emission) energie

Quantum Confined Stark Effekt (QCSE)

QCSE : Experimentelle Ergebnisse
 AlGaAs/GaAs QW (9.5nm)

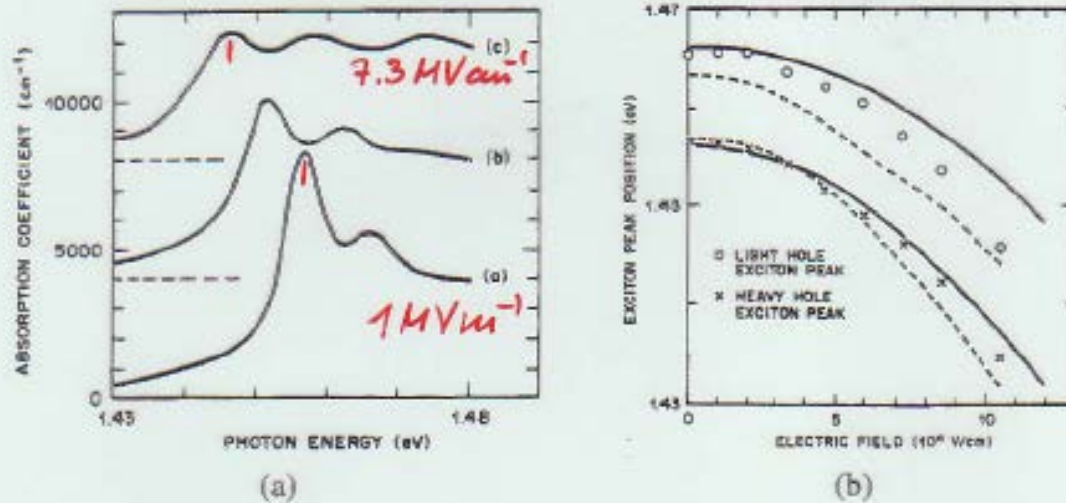


FIGURE 7.3. (a) Absorption spectra of a multiquantum well as a function of normal electric field. The GaAs wells were 9.5 nm wide, separated by 9.8 nm barriers of $\text{Al}_{0.32}\text{Ga}_{0.68}\text{As}$. The fields were (a) 1.0, (b) 4.7, and (c) 7.3 MV m^{-1} . The two peaks on each curve are due to the light and heavy holes. (b) Position of the peaks in energy as a function of the electric field; the lines are theoretical estimates. [From Miller et al. (1985).]

auch in QW aus III-Nitriden
 (GaN, GaInN, GaAlN)

Elektrisches Feld auf einen QW

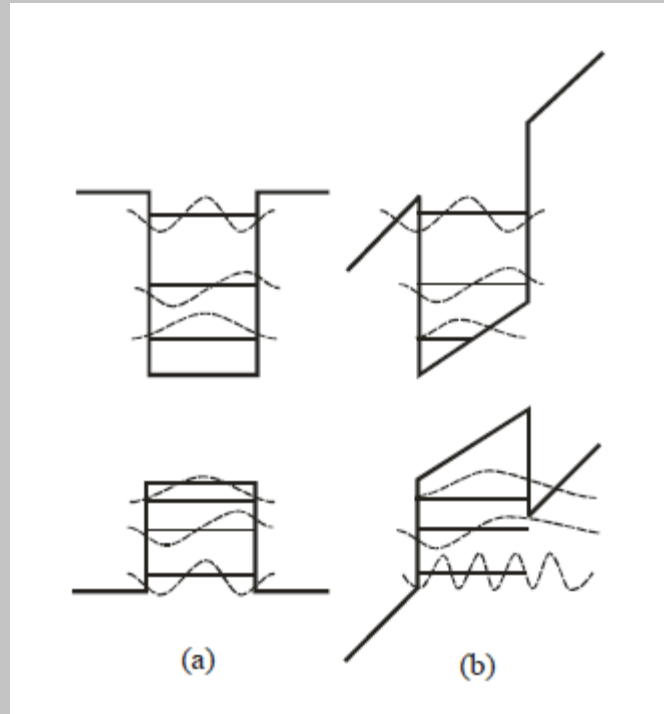


Fig. 3.17. *The effect of applied electric field on quantum wells includes the modification of the energy levels and their wave functions. (a) A quantum well is sketch in the absence of the electric field and (b) the modified band structure in the presence of an electric field.*

Dreiecksförmiger QW

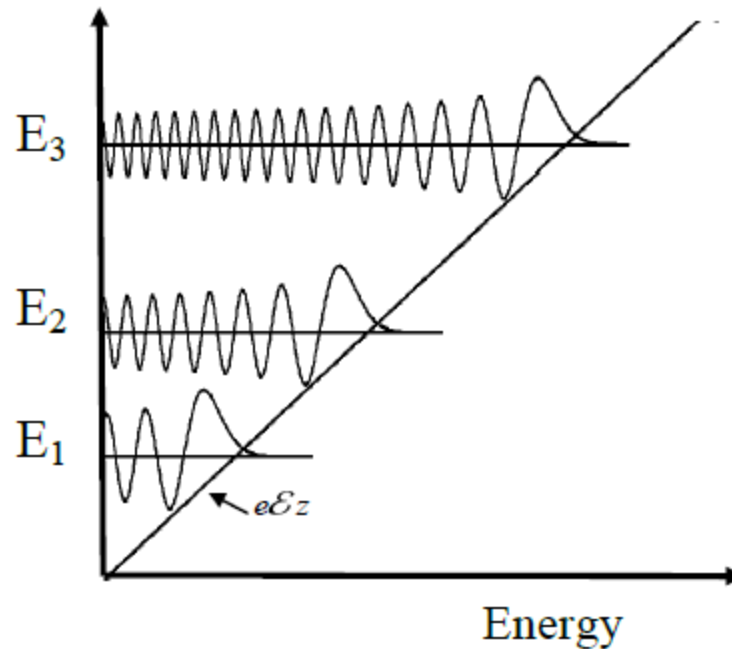


Fig. 3.18. *A triangular quantum well formed by applying a uniform electric field. Three energy levels are shown along with their wave functions. The wave functions have the form of Airy functions that satisfy the boundary conditions.*

Zustandsdichte unter Einfluss des elektr. Feldes

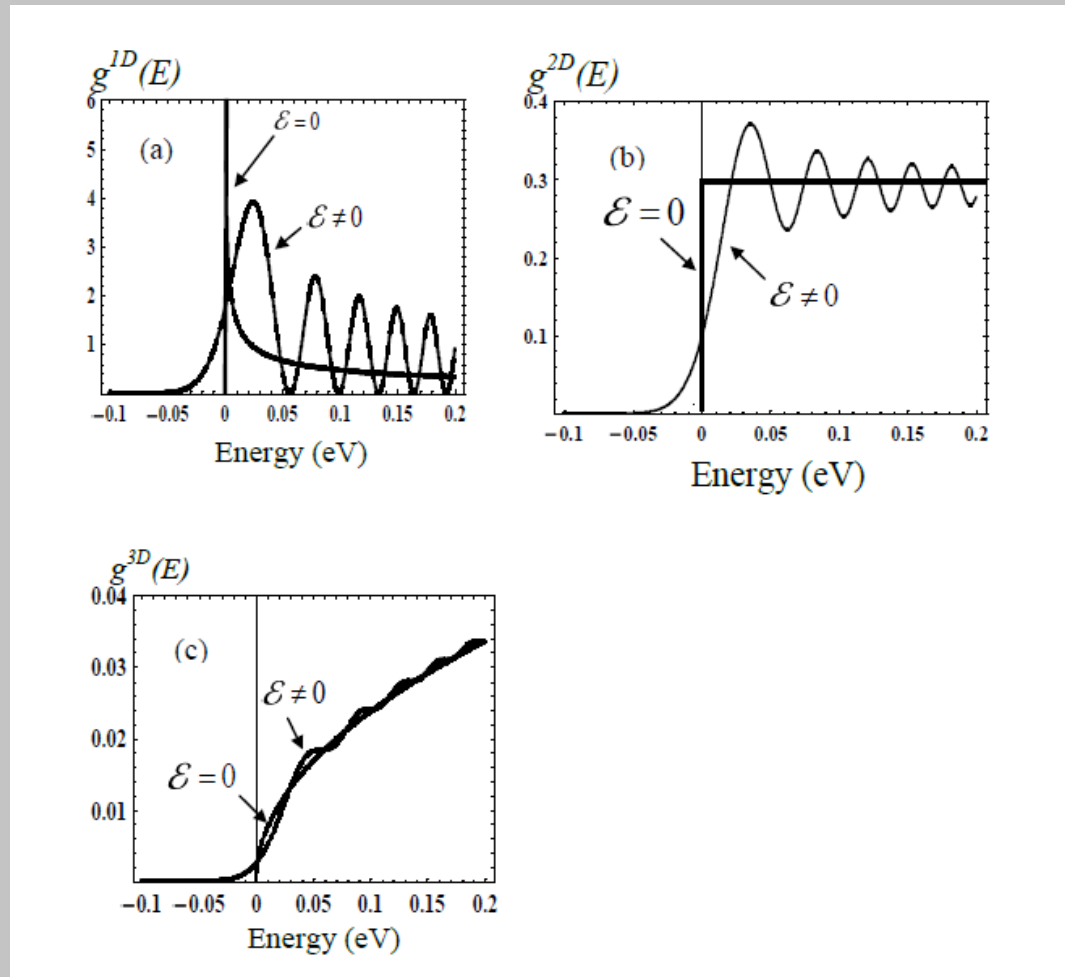


Fig. 3.19. *The density of states under the influence of uniform electric field is plotted as a function of energy for (a) quantum wire, (b) quantum well, and (c) bulk materials (after Davies).*

3-dim Zustandsdichte unter Einfluss eines elektr. Feldes

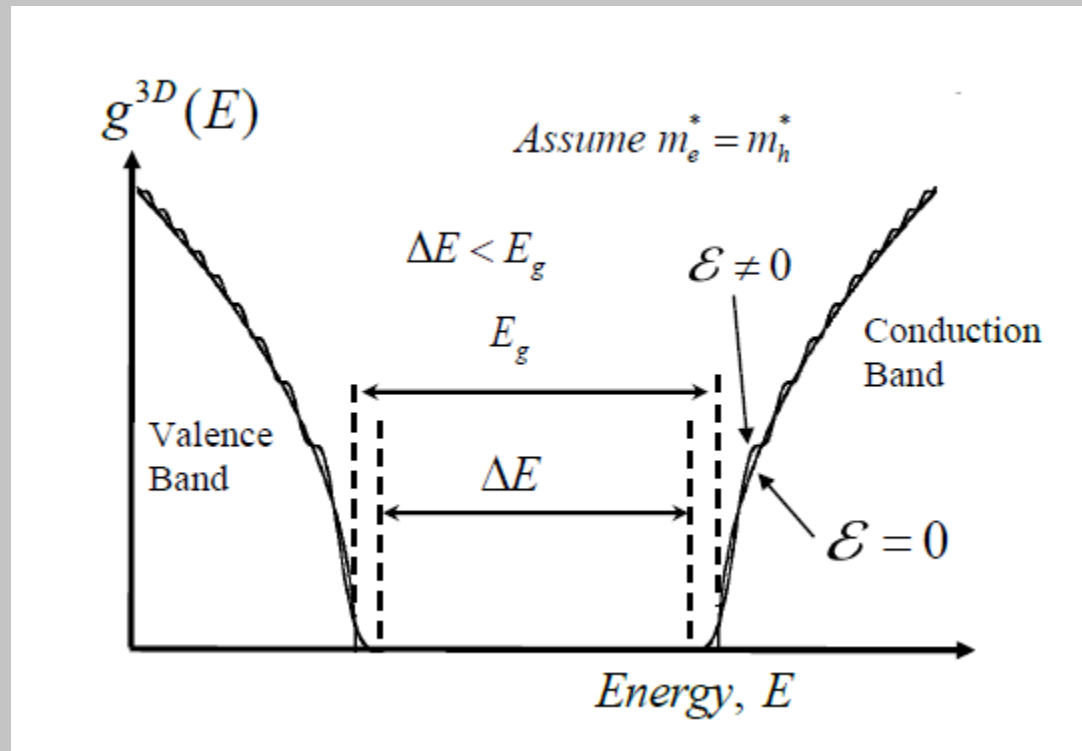


Fig. 3.20. The densities of states is plotted as a function of energy for both the conduction and valence bands with (rippled curves) and without (smooth curves) an applied electric field.

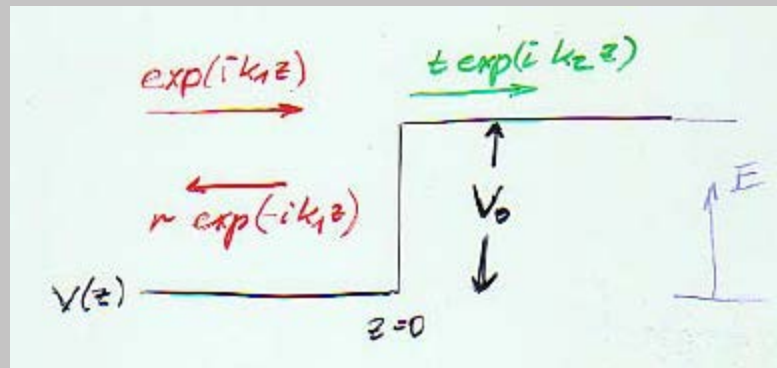
Tunnelströme

Haben bisher die gebundenen Zustände im QW betrachtet. Jetzt wollen wir uns ansehen, was geschieht, wenn freie Elektronen auf Potentialstufen treffen.

⇒ Tunnelströme, Resonante Zustände
Superpitter

Betrachten zunächst Potentialstufe:

Elektron wird durch Welle (kohärente) dargestellt (analog EM Welle durch Absorption)



r, t Reflexion } Amplitude
 Transmission }

$$k_1^2 = \frac{2mE}{\hbar^2}$$

$$k_2^2 = \frac{2m(E - V_0)}{\hbar^2}$$

Schrödinger Gleichung für Potenzialbarriere

Schreiben nun die Lösung der
 Schrödinger gl. allgemein an
ausdr.! für $E > V_0$

$$\begin{array}{l}
 z < 0 \\
 z > 0
 \end{array}
 \psi(z) = \begin{cases}
 A \exp(ik_1 z) + B \exp(-ik_1 z) \\
 C \exp(ik_2 z) + D \exp(-ik_2 z)
 \end{cases}$$

Kontinuitätsbed. bei $z=0$

Ampl.

$$A + B = C + D$$

Abl.

$$k_1(A - B) = k_2(C - D)$$



kennt man die Ampl. links so erhält man aus den Kont. bed. die Ampl. rechts

$$\hookrightarrow C = \frac{1}{2} \left(1 + \frac{k_1}{k_2}\right) A + \frac{1}{2} \left(1 - \frac{k_1}{k_2}\right) B$$

$$D = \frac{1}{2} \left(1 - \frac{k_1}{k_2}\right) A + \frac{1}{2} \left(1 + \frac{k_1}{k_2}\right) B$$

mit $A=1$, $B=r$, $C=t$ und $D=D$ ergibt dies

Wenn $E < V_0$

dann werden die Wellen rechts

nur eindringen (keine, abnehmende exp. Funct.)

$$k_2^2 \rightarrow \kappa_2^2 = 2m(V_0 - E)/\hbar^2 \quad (\kappa_2 = iK_2)$$

$$\leftarrow C \exp(\kappa_2 z)$$

$$\rightarrow D \exp(-\kappa_2 z)$$

$$\rightarrow t = \frac{2k_1}{k_1 + i\kappa_2} \quad r = \frac{k_1 - i\kappa_2}{k_1 + i\kappa_2}$$

Komplexe Koeff. \Rightarrow es wird keinen
 Stromfluss über
 Barriere geben

$$\text{d.h. } T = 0 \quad , \quad R = |r|^2 = 1$$

nur Eindringen der Wellen in
 Barriere

$$t = \frac{2k_1}{k_1 + k_2} \quad r = \frac{k_1 - k_2}{k_1 + k_2}$$

Den Fluss der Elektronen (Strom) erhält man aus der Stromdichte einer Welle $F \exp(ikx)$ zu $\frac{tk}{m} \cdot |F|^2$

und damit die Fluss Refl. u. Transm.

$$T = \frac{(tk_2/m) |t|^2}{(tk_1/m)} = \frac{k_2}{k_1} |t|^2 = \frac{4k_1 k_2}{(k_1 + k_2)^2}$$

$$R = \frac{(tk_1/m) |r|^2}{(tk_1/m)} = |r|^2 = \left(\frac{k_1 - k_2}{k_1 + k_2} \right)^2$$

$$R + T = 1$$

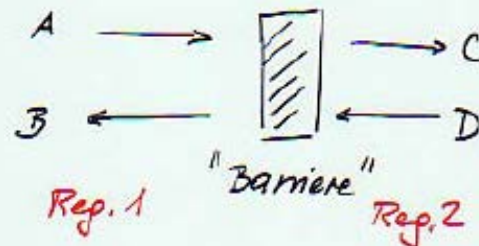
T-Matrizen

In der Folge besprechen wir ein Konzept,
 mit dem allgemein das Reflexions u.
 Transmissionsvermögen von "Pot. Stufen"
 beschrieben werden kann. (Kommt
 aus der Optik!)

Schreiben Beziehung zw. A, B und C, D
 als Matrixgl.

$$\begin{pmatrix} C \\ D \end{pmatrix} = T(z) \begin{pmatrix} A \\ B \end{pmatrix}$$

dies bedeutet



T-Matrizen

Wenn mehrere Zeilen vorliegen gilt

$$\begin{pmatrix} E \\ F \end{pmatrix} = T^{(32)} T^{(21)} \begin{pmatrix} A \\ B \end{pmatrix} = T^{(31)} \begin{pmatrix} A \\ B \end{pmatrix}$$

Mit

$$\begin{pmatrix} C \\ D \end{pmatrix} = T^{(21)} \begin{pmatrix} A \\ B \end{pmatrix} ; \quad \begin{pmatrix} E \\ F \end{pmatrix} = T^{(32)} \begin{pmatrix} C \\ D \end{pmatrix}$$

(Dies erklärt auch die Reihenfolge der Schreibweise!)

T-Matrizen

Damit erhalten wir für die Potentialstufe
bei $\varepsilon = 0$

$$\begin{pmatrix} t \\ 0 \end{pmatrix} = T \begin{pmatrix} 1 \\ r \end{pmatrix} = \begin{pmatrix} T_{11} & T_{12} \\ T_{21} & T_{22} \end{pmatrix} \begin{pmatrix} 1 \\ r \end{pmatrix}$$

$$\Rightarrow r = -\frac{T_{21}}{T_{22}} \quad t = \frac{T_{11}T_{22} - T_{12}T_{21}}{T_{22}}$$

$$\text{mit } r = \frac{k_2 - k_1}{k_1 + k_2} \quad t = \frac{2k_1}{k_1 + k_2} = \frac{1}{T_{22}}$$

erhält man

$$T^{(2)} = \frac{1}{2k_2} \begin{pmatrix} k_2 + k_1 & k_2 - k_1 \\ k_2 - k_1 & k_2 + k_1 \end{pmatrix} \equiv T(k_2, k_1)$$

für $E > V_0$, für $E \leq V_0$ wird $k_2 = iK_2$

T-Matrizen

Aus der Erhaltung des Teilchenstroms
und der Inv. bezüglich Zeitumkehr
folgen weitere Eigenschaften der
T-Matrizen

i) $\det |T| = 1$

ii) $T_{22} = T_{11}^*$
 $T_{21} = T_{12}^*$

$$T = \begin{pmatrix} T_{11} & T_{12} \\ T_{12}^* & T_{11}^* \end{pmatrix} = \begin{pmatrix} 1/\epsilon^* & -1/\epsilon^* \\ -1/\epsilon & 1/\epsilon \end{pmatrix}$$

iii) Wenn $T^{(21)}$ für Teilchen von Links
gilt

dann sei $T^{(12)} \equiv T'$ die T Matrix
für Teilchen von rechts

T-Matrizen

es gilt

$$T_{11}' = T_{11}$$

$$T_{12}' = -T_{12}^*$$

$$T' = \begin{pmatrix} T_{11} & -T_{12}^* \\ -T_{12} & T_{11}^* \end{pmatrix}$$

Betrachten nun eine Stufe bei $z=d$

Die Matrix $T(d)$ kann aus $T(0)$

durch Transformation $z' = z-d$

gewonnen werden.

T-Matrizen

a) Bringen Stufe an die Stelle $z' = 0$

durch $z' = z - d$

auf linker Seite

dann sind die von links einlaufende Welle $\exp(ik_1 z')$ $\exp(ik_1 d)$

und die nach links laufende Welle

$\exp(ik_1 z')$ $\exp(-ik_1 d)$

d.h. Amplituden werden mit $\exp(ik_1 d)$

bzw. $\exp(-ik_1 d)$ multipliziert

oder: Multiplizieren Ampl. mit

$$\begin{pmatrix} e^{ik_1 d} & 0 \\ 0 & e^{-ik_1 d} \end{pmatrix} \cdot \text{Ampl. links}$$

b) $T(0)$ kann nun verwendet werden
um Ampl. auf der rechten Seite zu berechnen

$$A_r = T(0) \begin{pmatrix} e^{ik_1 d} \\ e^{-ik_1 d} \end{pmatrix} \cdot A_L$$

T-Matrizen

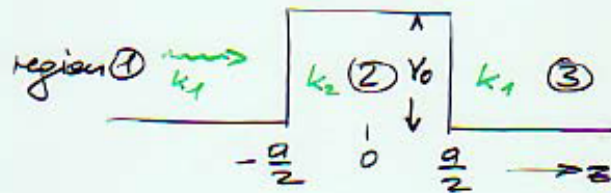
c) Bringen nun Stufe an $z=d$ durch
Rücktransf. $z = z' + d$
dies bedeutet wieder Phasenfaktoren
für die Ampl. (auf der rechten Seite)
daher mit $kz!$)

insgesamt ergibt sich

$$T(d) = \begin{pmatrix} e^{-ikzd} & 0 \\ 0 & e^{ikzd} \end{pmatrix} T(0) \begin{pmatrix} e^{ikzd} & 0 \\ 0 & e^{-ikzd} \end{pmatrix}$$

T-Matrizen

Damit können wir nun auch beschreiben, was passiert, wenn eine Teilchenwelle auf ein Rechteckpotential auftrifft.



$$T^{(31)} = \underbrace{\begin{pmatrix} e^{-ik_1 \frac{a}{2}} & 0 \\ 0 & e^{ik_1 \frac{a}{2}} \end{pmatrix} T(k_1, k_2)}_{\text{Transm. } 2 \rightarrow 3} \begin{pmatrix} e^{ik_2 \frac{a}{2}} & 0 \\ 0 & e^{-ik_2 \frac{a}{2}} \end{pmatrix} \times$$

$$\times \underbrace{\begin{pmatrix} e^{ik_2 \frac{a}{2}} & 0 \\ 0 & e^{-ik_2 \frac{a}{2}} \end{pmatrix} T(k_2, k_1)}_{\text{Transm. } 1 \rightarrow 2} \begin{pmatrix} e^{-ik_1 \frac{a}{2}} & 0 \\ 0 & e^{ik_1 \frac{a}{2}} \end{pmatrix}$$

T-Matrizen

Und damit erhält man

$$T(E) = |t|^2$$

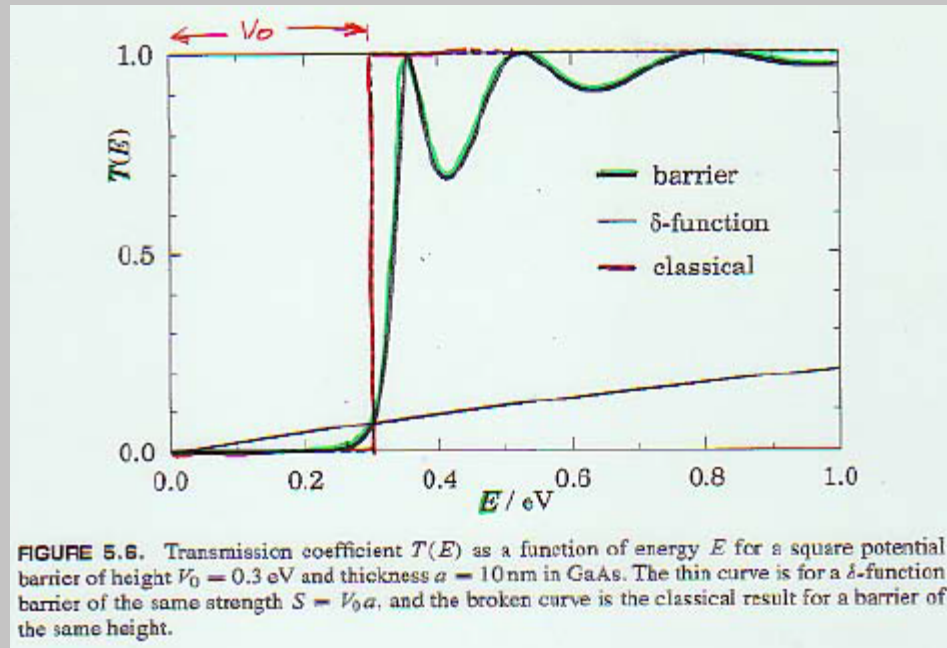
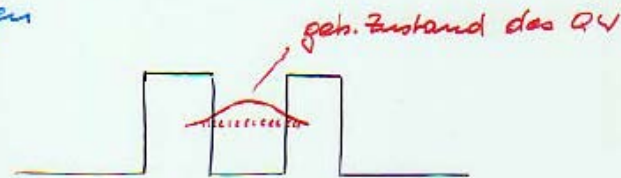


FIGURE 5.6. Transmission coefficient $T(E)$ as a function of energy E for a square potential barrier of height $V_0 = 0.3$ eV and thickness $a = 10$ nm in GaAs. The thin curve is for a δ -function barrier of the same strength $S = V_0 a$, and the broken curve is the classical result for a barrier of the same height.

T-Matrizen

Besonders interessant ist der Fall, wenn zwei Barrieren nahe aneinander liegen



Transmission in einer Dimension (\hbar)

Für Teilchen im QV sei T_R die T-Matrix für rechte Barriere und T_L die T-Matrix für linke Barriere

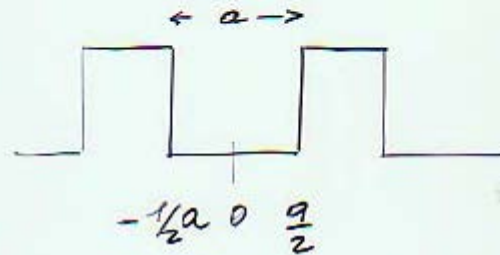
$$T_L = \begin{pmatrix} 1/t_L^* & r_L/t_L \\ v_L^*/t_L^* & 1/t_L \end{pmatrix}$$

$$T_R = \begin{pmatrix} 1/t_R^* & -r_R^*/t_R^* \\ -r_R/t_R & 1/t_R \end{pmatrix}$$

t_R, r_R, t_L, r_L seien die Transm. und Reflexionskoeff. der Amplituden

T-Matrizen

Können nun die T-Matrix für die
 Resonante Tunnelstruktur $T = T^{(31)}$
 wie bei Rechteckpot. schreiben



$$T = \begin{pmatrix} e^{-ika/2} & 0 \\ 0 & e^{ika/2} \end{pmatrix} \begin{pmatrix} \frac{1}{t_R^*} & -\frac{r_R^*}{t_R^*} \\ -\frac{r_R}{t_R} & \frac{1}{t_R} \end{pmatrix \begin{pmatrix} e^{ika/2} & 0 \\ 0 & e^{-ika/2} \end{pmatrix} \times$$

$$\times \begin{pmatrix} e^{ika/2} & 0 \\ 0 & e^{-ika/2} \end{pmatrix} \begin{pmatrix} \frac{1}{t_L^*} & \frac{r_L}{t_L^*} \\ \frac{r_L^*}{t_L^*} & \frac{1}{t_L} \end{pmatrix \begin{pmatrix} e^{-ika/2} & 0 \\ 0 & e^{ika/2} \end{pmatrix}$$

$$\Rightarrow t = \frac{t_L t_R}{1 - r_L r_R \exp(2ika)}$$

T-Matrizen

Das Verhalten von t und $T = |t|^2$
wird besonders klar, wenn die Refl.koeff.
 r (im Allg. kompl. wegen Phasensprung)
in polarer Form $r = |r| \cdot \exp(i\varphi)$
geschrieben werden

$$\Rightarrow T = |t|^2 = \frac{T_L T_R}{1 + R_L R_R - 2\sqrt{R_L R_R} \cos(2ka + \varphi_L + \varphi_R)}$$

untersucht man T als Funktion der
Energie E des Teilchens, so ergibt sich
die stärkste Änderung auf Grund
des \cos Terms, wenn $\cos(2ka + \varphi_L + \varphi_R) = 1$

$$\text{d.h. } 2ka + \varphi_L + \varphi_R = 2n\pi$$

T-Matrizen

Dies ist aber genau dann der Fall, wenn Teilchenwellen eine stehende Welle im QV bildet \Rightarrow Transmission maximal bei Energie ¹⁷⁹ der QV-Zustände
Resonantes Tunneln

Bei $E = E_{\text{res}}$ wird T_{res} groß

Für T_R, T_L klein gilt: $T_{\text{res}} \rightarrow 1$ und gleich

$$\Gamma \propto \frac{T_L + T_R}{2a}$$

T-Matrizen

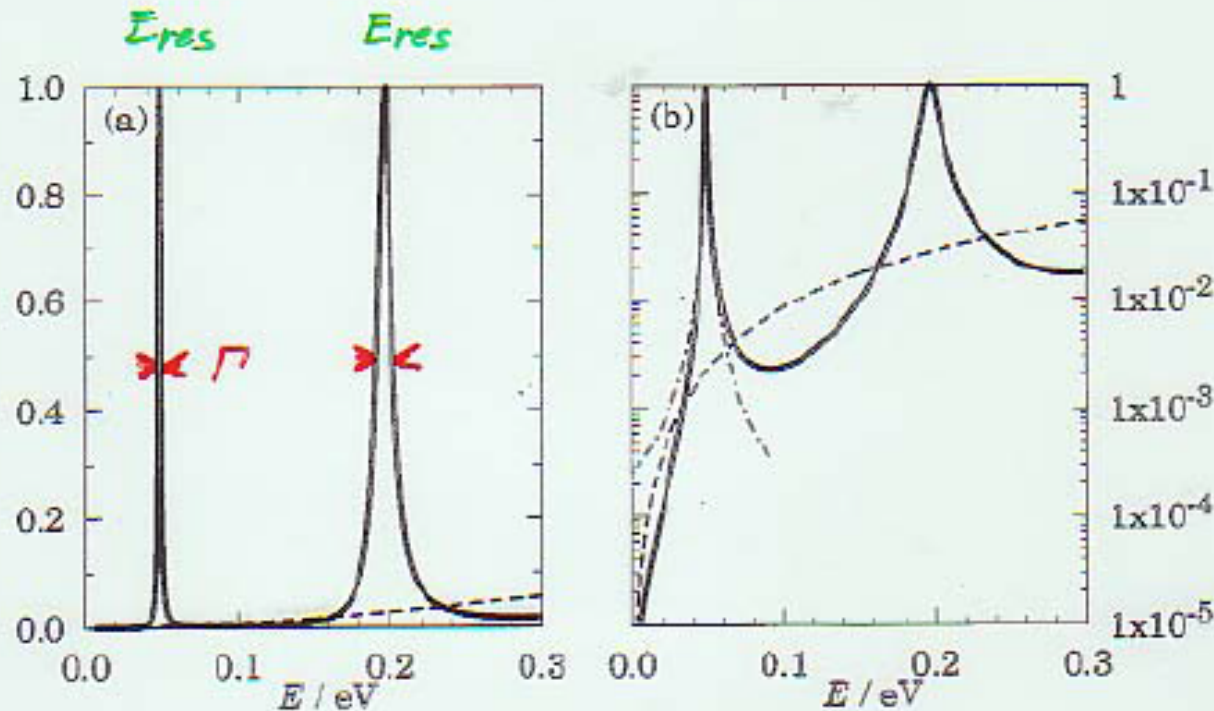


FIGURE 5.11. Transmission coefficient of a resonant-tunnelling structure on (a) linear and (b) logarithmic scales. The barriers are δ -functions of strength $0.3 \text{ eV} \times 5 \text{ nm}$ separated by 10 nm . The solid curve is $T(E)$ for the whole structure, the dashed curve shows the square of $T(E)$ for a single barrier and would apply to the double-barrier structure if there were no resonance, and the chain of dots is the Lorentzian approximation to the lowest resonance.

RTD – negativer differentieller Widerstand (NDR)

Anwendungen des resonanten Tunnelns:

Res. Tunnel Diode \rightarrow NDR

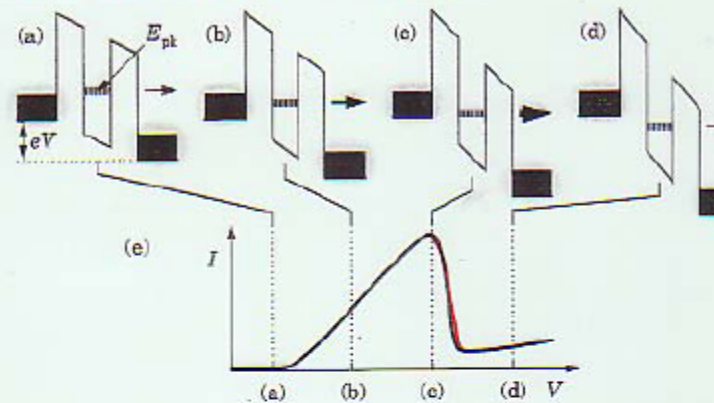


FIGURE 5.13. Profile through a three-dimensional resonant-tunneling diode. The bias increases from (a) to (d), giving rise to the $I(V)$ characteristic shown in (e). The shaded areas on the left and right are the Fermi seas of electrons.

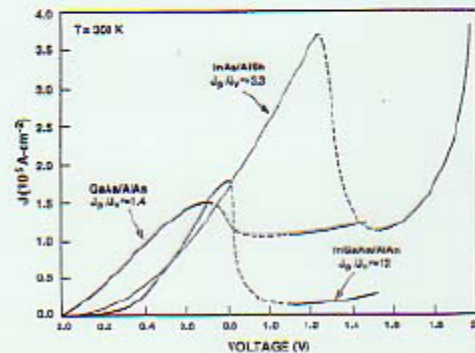
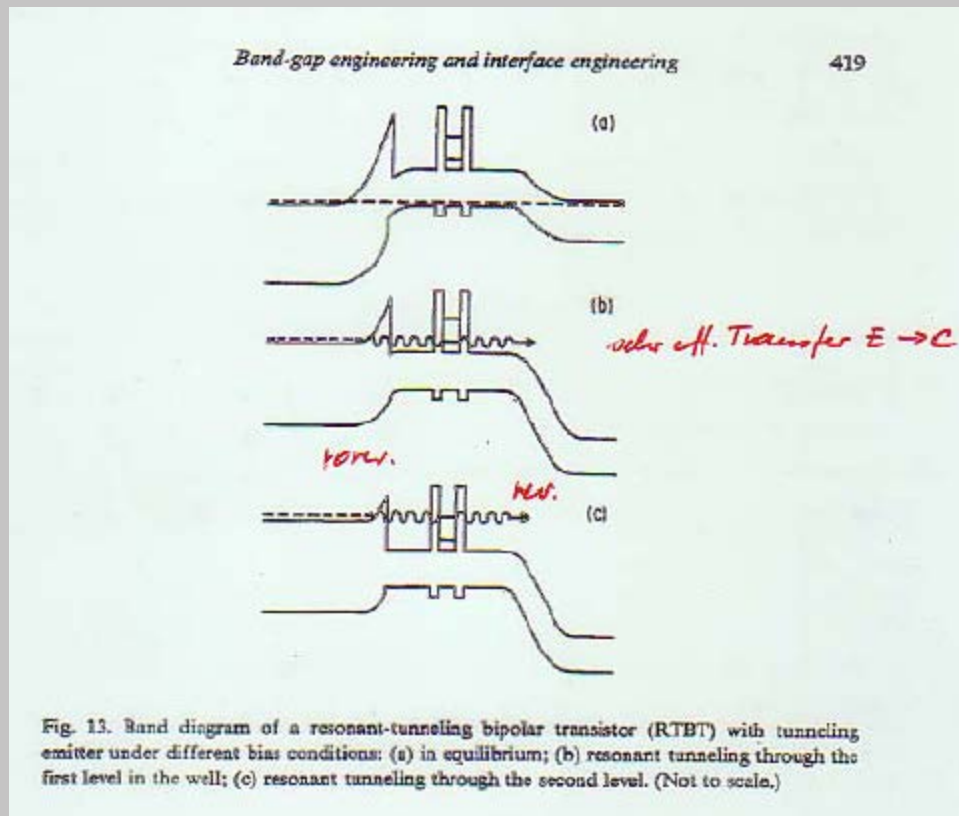


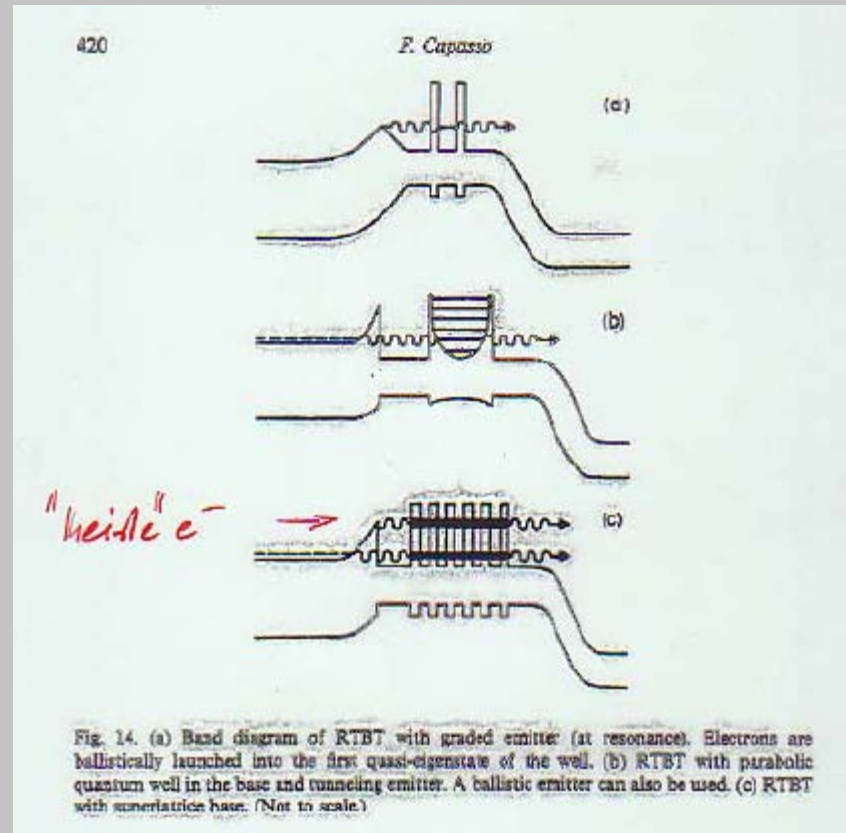
FIGURE 5.15. Characteristics of resonant-tunneling diodes in three material systems measured at room temperature. [From Brown (1994).]

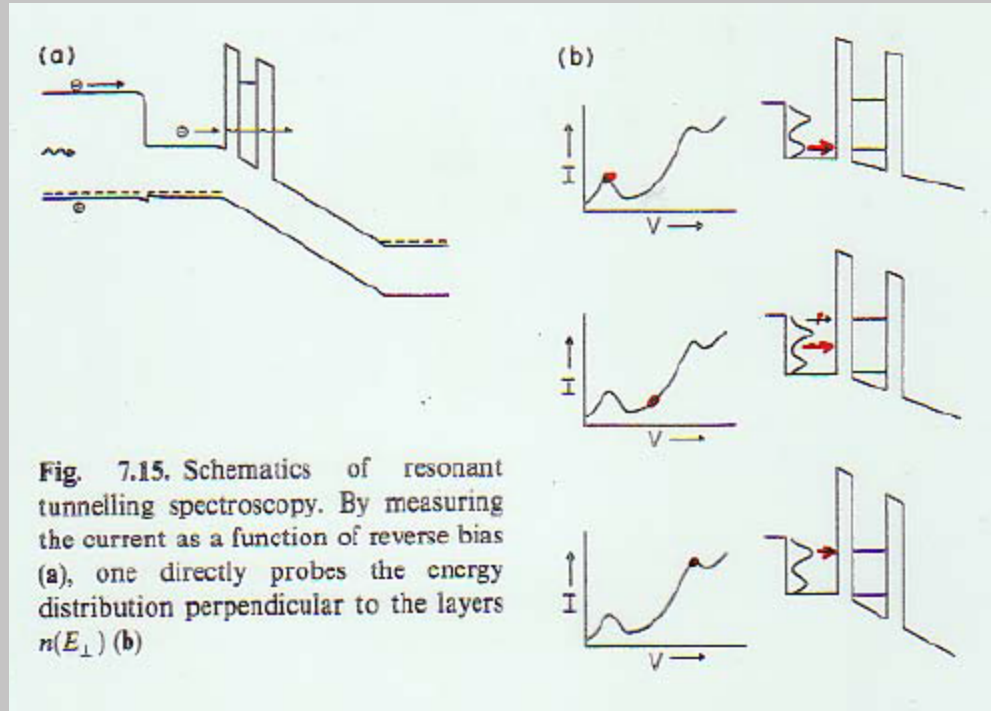
RTBT

resonant-tunneling bipolar T.
(RTBT)



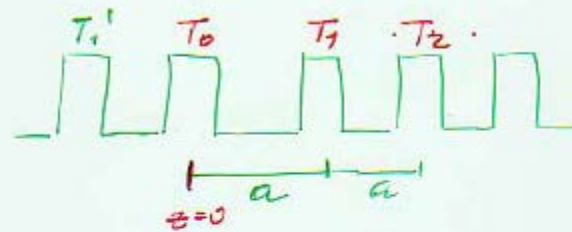
RTBT





Übergitter - superlattice

Betrachten regelmäßige Anordnung von
 QU's mit T-Matrix



Die 'Barriere' bei $z=0$ habe Transfermatrix T_0

Dann hat die nächste B. rechts

$$T_1 = \begin{pmatrix} e^{-ik_1 a} & 0 \\ 0 & e^{ik_1 a} \end{pmatrix} T_0 \begin{pmatrix} e^{ik_1 a} & 0 \\ 0 & e^{-ik_1 a} \end{pmatrix} = A^{-1} T_0 A$$

$$T_2 = A^{-1} (A^{-1} T_0 A) A = A^{-2} T_0 A^2$$

Übergitter - superlattice

und die gesamte Anordnung

$$\begin{aligned}
 T_{\dots} &= \underbrace{(A^{-2} T_0 A^2)}_{T_2} \underbrace{(A^{-1} T_0 A)}_{T_1} T_0 \underbrace{(A T_0 A^{-1})}_{T_1'} \underbrace{(A^2 T_0 A^{-2})}_{T_2'} \dots \\
 &= \dots T_0 A T_0 A T_0 A T_0 A \dots
 \end{aligned}$$

Dies sieht aus wie eine regelmäßige
 Es gibt Wellen, die sich auf Grund
 des Resonanten Tunnel-eff. über
 die gesamte Anordnung der QW
 ausbreiten können.

⇒ Bandzustände (Bänder)

die von gebieten (Energie) mit
 geringer Transmission getrennt
 werden.

Übergitter - superlattice

(Das Modell einer regelmäßigen
Anordnung von (δ) Potentialen
war eines der ersten Modelle für
"Bandstrukturen"
Kronig - Penney Modell